

# کنترل اینورترهای تک‌فاز جدا از شبکه مبتنی بر روش آرایه کنترل هارمونیک (HCA)

Murat Dogruel

Department of Electrical and Electronics Engineering,  
Faculty of Engineering  
Marmara University  
Istanbul, Turkey  
mdogruel@marmara.edu.tr

محمدصادق کرباس فروشان و محمد منفرد

آزمایشگاه الکترونیک قدرت، گروه مهندسی برق، دانشکده مهندسی  
دانشگاه فردوسی مشهد  
مشهد، ایران  
sadegh.karbasforooshan@stu.um.ac.ir,  
m.monfared@um.ac.ir

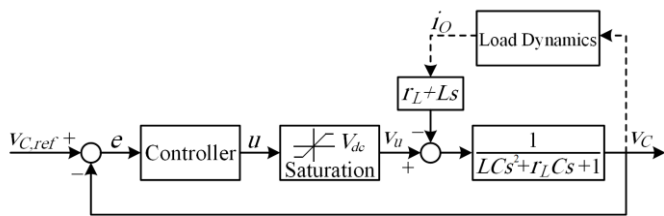
سیستم اینورتر جدا از شبکه نیازمند ردیابی یا حذف سیگنال‌های متناوب می‌باشد. روش‌های کنترلی متعددی در ارتباط با این موضوع در مقالات ارائه شده‌اند [۱]-[۱۹]. از میان این روش‌ها، روش کنترل تناسبی-رزونانسی (PR)، کنترل قاب مرجع سنکرون (SRF) و کنترل تکراری عملکرد رضایت‌بخشی را از خود به نمایش گذاشته‌اند. اگرچه کنترلر PR دارای مزایای سادگی، حجم محاسباتی کم و خطای حالت دائم صفر است، اما این روش از کاهش نمایی پاسخ به تغییرات پله، حساسیت بالا به تغییرات فرکانس شکل موج‌های ac و احتمال ناپایداری در صورت جابجایی فاز سیگنال اندازه‌گیری شده رنج می‌برد [۱]-[۶]. روش کنترلی SRF متغیرهای سیستم را به قاب مرجع دوار با سرعت سنکرون تبدیل می‌کند که در نتیجه این تبدیل، متغیرهای ac، dc می‌گردند. بنابراین، سیگنال کنترلی در روش SRF به‌وسیله یک کنترلر تناسبی-انتگرالی (PI) ساده با خطای حالت دائم صفر تنظیم می‌گردد. از میان محدودیت‌های تکنیک SRF می‌توان به نیاز به چندین تبدیل قاب مرجع (افزایش حجم و خطای محاسبات)، محدودیت کاربرد روش به سیستم‌های متعادل، الگوریتم پیچیده و ... اشاره نمود [۷]-[۱۴]. روش کنترل تکراری یک روش پرکاربرد است که می‌تواند سیگنال‌های متناوب را ردیابی یا حذف نماید. دیگرام بود کنترلر تکراری دارای دامنه بی‌نهایت در مضارب صحیح فرکانس مولفه اصلی است که می‌تواند منجر به ناپایداری گردد. اگرچه راه‌حل‌های زیادی برای حل این مشکل پیشنهاد شده‌اند، اما این روش نیز از معایبی همچون پاسخ‌گذاری کند، حساسیت به دقت مدل و نیاز به حافظه بالا اشاره کرد [۱۵]-[۱۹].

چکیده — این مقاله، کاربرد تکنیک آرایه کنترل هارمونیک (HCA) را برای کنترل اینورترهای تک‌فاز جدا از شبکه پیشنهاد می‌دهد. روش HCA اخیراً به‌عنوان یک راه‌حل کنترلی موثر برای سیستم‌های با مراجع یا اغتشاشات متناوب معرفی شده است. این روش، به‌طور موثر مولفه‌های هارمونیک سیگنال کنترلی را با هدف دستیابی به خطای حالت دائم صفر تنظیم می‌کند. شیوه طراحی پارامترهای کنترلر سیستم نیز در این مقاله پیشنهاد شده است. جهت تایید نتایج تئوری، نتایج شبیه‌سازی برای یک سیستم نمونه در این مقاله آورده شده است. نتایج به‌دست‌آمده، موثر بودن طرح کنترلی پیشنهادشده را نشان می‌دهد.

واژه‌های کلیدی — تجزیه‌کننده هارمونیک؛ بازساز هارمونیک؛ ردیابی شکل موج مرجع متناوب؛ اینورتر تک‌فاز جدا از شبکه.

## ۱. مقدمه

اینورترهای جدا از شبکه به‌طور گسترده در کاربردهای صنعتی جهت تامین برق بارهای حساس یا فراهم نمودن انرژی الکتریکی برای بارهای محلی به کار می‌روند. بنابراین، هدف اصلی سیستم اینورتر جدا از شبکه فراهم کردن ولتاژ ac تنظیم‌شده با اعوجاج هارمونیک کلی (THD) پایین علیرغم تغییرات و اغتشاشات بار است؛ تا شارش توان الکتریکی با کیفیت بالا را برای بارهای حساس یا محلی حفظ نماید.



شکل ۲: بلوک دیاگرام سیستم کنترل

## ۲. مدل سازی اینورتر تک فاز جدا از شبکه

مدارات قدرت و کنترل اینورتر تک فاز جدا از شبکه در شکل ۱ نشان داده شده اند. مطابق این شکل، مدار قدرت از یک اینورتر پل کامل، فیلتر LC و بار محلی تشکیل شده است. پارامترهای سیستم مورد مطالعه در جدول ۱ لیست شده اند. معادلات فضای حالت سیستم به صورت زیر هستند:

$$\frac{d}{dt} \begin{bmatrix} i_L \\ v_C \end{bmatrix} = \begin{bmatrix} -\frac{r_L}{L} & -\frac{1}{L} \\ \frac{1}{C} & 0 \end{bmatrix} \begin{bmatrix} i_L \\ v_C \end{bmatrix} + \begin{bmatrix} \frac{1}{L} & 0 \\ 0 & -\frac{1}{C} \end{bmatrix} \begin{bmatrix} v_u \\ i_o \end{bmatrix} \quad (1)$$

در نتیجه، تابع انتقال سیستم عبارت است از [۲۱]:

$$V_C(s) = \frac{1}{LCs^2 + r_L Cs + 1} V_u(s) - \frac{r_L + Ls}{LCs^2 + r_L Cs + 1} I_o(s) \quad (2)$$

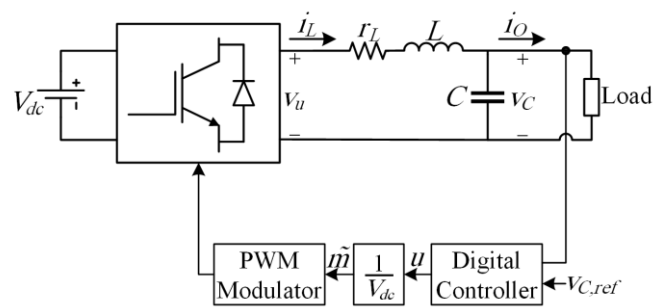
به دلیل اینکه فرکانس کلیدزنی مدولاتور PWM به گونه ای انتخاب شده که بسیار بزرگتر از فرکانس قطع فیلتر پایین گذر LC باشد، بنابراین با استفاده از روش مدل میانگین می توان نوشت:

$$v_u \approx \tilde{m} V_{dc} = u \quad (3)$$

در نتیجه، بلوک دیاگرام متناظر سیستم در شکل ۲ نشان داده شده است.

## ۳. روش آرایه کنترل هارمونیک (HCA)

ساختار HCA با در نظر گرفتن یک سیستم نوعی با کنترل پسخور در شکل ۳ نشان داده شده است. در این شکل، ورودی مرجع،  $u$  سیگنال کنترلی و  $y$  خروجی سیستم می باشد. سایر بلوک ها و سیگنال ها در شکل، در زیربخش های ذیل به طور مختصر ارائه می شوند.



شکل ۱: سیستم اینورتر تک فاز منبع ولتاژی جدا از شبکه: مدارات قدرت و کنترل

جدول ۱: پارامترهای سیستم

مقدار	نماد	پارامتر
250 V	$V_{dc}$	ولتاژ لینک dc
110 V <sub>rms</sub>	$V_C$	ولتاژ نامی
1 kVA	$S$	توان نامی
1 mH	$L$	اندوکتانس فیلتر
25 uF	$C$	خازن فیلتر
0.2 Ω	$r_L$	ESR اندوکتانس
60 Hz	$f$	فرکانس اصلی
6 kHz	$f_s$	فرکانس کلیدزنی

روش آرایه کنترل هارمونیک (HCA) اخیراً برای کنترل سیستم های شامل سیگنال های مرجع متناوب و اغتشاشات متناوب ارائه شده است [۲۰]. این روش به طور خودکار سیگنال کنترلی متناوب جبران شده را ساخته و ردیابی یا حذف اغتشاش کامل سیگنال مرجع متناوب را فراهم می آورد. روش HCA برای به دست آوردن مولفه های هارمونیک از انتگرال سری فوریه در فرم مختلط استفاده می کند. اگرچه کنترلرهای متعددی در پیاده سازی روش HCA کاربرد دارند، در این مقاله از کنترلر PI استفاده می شود. روش HCA به سادگی در ردیابی مرجع متناوب یا جبران سازی اعوجاج هارمونیک متناوب تاثیرگذار و کاربردی است.

در این مقاله، روش HCA برای سیستم کنترل ولتاژی یک اینورتر تک فاز جدا از شبکه به کار می رود. مقاله حاضر به بخش های زیر تقسیم می گردد. ابتدا مدل سازی یک اینورتر تک فاز جدا از شبکه با فیلتر LC خروجی در بخش ۲ توصیف می گردد. سپس به اصول روش HCA و پیاده سازی آن در بخش ۳ اشاره می گردد. سپس، شیوه تنظیم پارامترهای کنترلر سیستم در بخش ۴ می آید. نتایج شبیه سازی سیستم در بخش ۵ تشریح می گردند. در نهایت، نتیجه گیری در بخش ۶ توصیف می گردد.

$$\langle x \rangle = \begin{bmatrix} \langle x \rangle_0 \\ \langle x \rangle_1 \\ \vdots \\ \langle x \rangle_H \end{bmatrix} \quad (5)$$

اگر  $\langle x \rangle$  در طول زمان ثابت باشد (و  $x(t)$  شامل هارمونیک غالب بزرگتر از  $H$  نباشد)،  $x(t)$  با دوره تناوب  $T$  متناوب می باشد.

در اینجا،  $H$  یک پارامتر طراحی و بیانگر ماکزیمم شماره هارمونیک در نظر گرفته شده است. پارامتر  $H$  را می توان مطابق پردازش مورد نیاز و توان محاسباتی پردازشگر تعیین نمود. در صورتی که هارمونیک های بیشتری برای کنترل در سیستم مورد نیاز باشند،  $H$  را می توان افزایش داد؛ اما در این مورد، بار محاسباتی نیز افزایش خواهد یافت و یک مصالحه برای مدیریت کل محاسبات در یک دوره تناوب نمونه برداری مورد نیاز است. اگرچه، با افزایش توان محاسباتی DSP و الگوریتم های موثر توسعه یافته، پیاده سازی این عملیات با تعداد هارمونیک بالا حتی در فرکانس های نمونه برداری بالا نیز میسر می گردد.

### ۳.۲. بازساز هارمونیک

بازساز هارمونیک (شکل ۴(ب)) یک سیگنال را از مولفه های هارمونیک اش بازسازی می کند. با استفاده از معادله سری فوریه، سیگنال با استفاده از رابطه زیر به دست می آید:

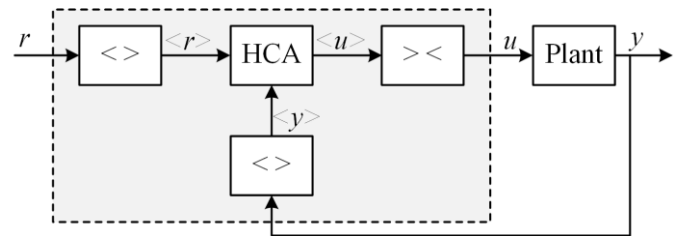
$$x(t) = \sum_{h=-H}^H \langle x \rangle_h(t) e^{jh\omega t} \quad (6)$$

در اینجا، مولفه های هارمونیک منفی برای بازسازی سیگنال  $x(t)$  مورد نیاز است. به دلیل اینکه  $x$  یک سیگنال حقیقی فرض شده است،  $\langle x \rangle_{-h}$  معادل مزدوج  $\langle x \rangle_h$  می باشد (یعنی  $\langle x \rangle_{-h} = \langle x \rangle_h^*$ ). بنابراین، که شامل هارمونیک های 0 تا  $H$  می باشد، برای تولید  $x$  کافی است. با استفاده از رابطه (۶)، یک بیان معادل شامل تنها هارمونیک های نامنفی عبارت است از:

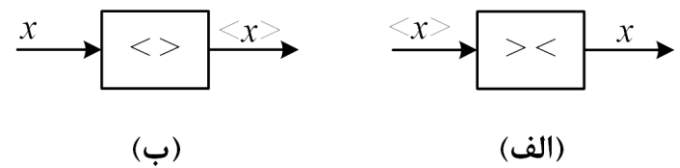
$$x(t) = \langle x \rangle_0(t) + 2\text{Re} \left\{ \sum_{h=1}^H \langle x \rangle_h(t) e^{jh\omega t} \right\} \quad (7)$$

### ۳.۳. بلوک آرایه کنترل هارمونیک

بلوک HCA در شکل ۳، با استفاده از  $\langle r \rangle$  و  $\langle y \rangle$  و امکان وجود مقادیر زمانی قبلی شان، سیگنال  $\langle u \rangle$  را به صورت بهینه تولید می کند. این



شکل ۳: بلوک دیاگرام آرایه کنترل هارمونیک



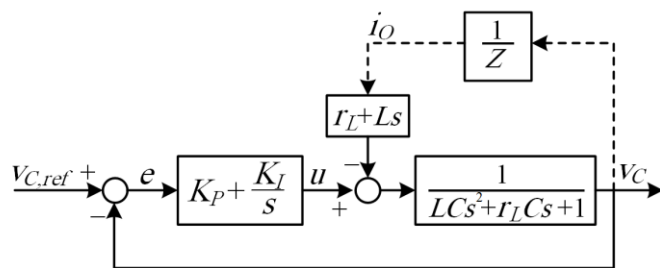
شکل ۴: عملگرهای هارمونیک: (الف) تجزیه کننده هارمونیک (ب) بازساز هارمونیک

### ۳.۱. تجزیه کننده هارمونیک

تجزیه کننده هارمونیک (شکل ۴(الف)) مولفه های هارمونیک سیگنال ورودی را به صورت تابعی از زمان تولید می کند. هارمونیک  $h$ -ام سیگنال  $x(t)$  با استفاده از انتگرال سری فوریه به صورت زیر به دست می آید:

$$\langle x \rangle_h(t) = \frac{1}{T} \int_{t-T}^t x(\tau) e^{-jh\omega\tau} d\tau \quad (4)$$

که  $h$  یک عدد طبیعی،  $T$  دوره تناوب مولفه اصلی و  $\omega = 2\pi/T$  فرکانس زاویه ای سیگنال مرجع می باشد. در این مقاله، سیگنال  $x(t)$  حقیقی فرض می شود.  $\langle x \rangle_h(t)$  دارای مقدار مختلط بیانگر ضریب سری فوریه زمانی می باشد که فازور دینامیکی نیز خوانده می شود [۲۲]. انتگرال سری فوریه رابطه (۴) با انتخاب یک دوره تناوب نمونه برداری مناسب توسط طراح می تواند به صورت گسسته به وسیله یک پردازنده سیگنال دیجیتال (DSP) یا یک میکروکنترلر محاسبه گردد. الگوریتم گورتزل یک روش محاسبه موثر را برای این کار فراهم می آورد و همزمان زمان محاسبه و حافظه ذخیره شده را کاهش می دهد [۲۳]. این روش از آخرین تناوب برای ارزیابی دقیق مقادیر هارمونیک و انعکاس سریع تغییرات هارمونیک سیگنال استفاده می کند.  $\langle x \rangle_h(t)$  با ضریب سری فوریه سیگنال در ارتباط است. در واقع، اگر سیگنال  $x(t)$  متناوب با دوره تناوب  $T$  باشد،  $\langle x \rangle_h$  یک مقدار مختلط نامتغیر با زمان خواهد شد و معادل ضریب  $h$ -ام سری فوریه خواهد بود. تجزیه هارمونیک سیگنال  $x(t)$  با در نظر گرفتن مولفه های 0 تا  $H$  به صورت زیر تعریف می گردد:



شکل ۶: بلوک دیاگرام ساده شده سیستم کنترل اینورتر تک فاز جدا از شبکه

در اینجا برخلاف استفاده از یک کنترلر PI در کنترل کلاسیک، یک آرایه از کنترلرهای PI وجود دارند؛ بنابراین، این کنترلرها به صورت موازی بر روی هر هارمونیک جهت تشکیل سیگنال کنترلی نهایی عمل می کنند. این عمل، علت استفاده از نام آرایه کنترل هارمونیک برای این روش را نیز تبیین می کند.

#### ۴. طراحی پارامترهای کنترلر سیستم

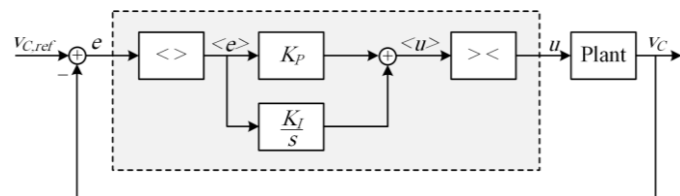
بلوک دیاگرام مبدل تک فاز در حضور کنترلر HCA در شکل ۵ نشان داده شده است. این مدل با صرف نظر کردن از دینامیک تجزیه کننده و بازساز و مدل سازی دینامیک بار توسط امپدانس Z ساده می گردد. در نتیجه، پارامترهای کنترلی بر اساس مدل ساده شده شکل ۶ طراحی می گردند.

به طور مرسوم، یک مقاومت خیلی کوچک به صورت سری با خازن فیلتر جهت میرایی پسیو رزونانس های فرکانس بالای ایجاد شده بر اثر هارمونیک های باند میانی کلیدزنی استفاده می شود که تاثیر آن بر دینامیک سیستم کنترل نادیده گرفته می شود.

حاشیه فاز (PM) و پایداری سیستم حلقه بسته تحت بارهای سبک ( $Z \rightarrow \infty$ ) کاهش می یابد [۷]. بنابراین، کنترلر و پارامترهای آن در بدترین شرایط تنظیم می گردند؛ یعنی در بی باری. در نتیجه، به عنوان یک فرض محتاطانه این اطمینان وجود خواهد داشت که حاشیه فاز سیستم هرگز از مقدار مطلوب در محدوده وسیعی از عملکرد مبدل کمتر نخواهد شد. همچنین، ساده شدن طراحی کنترلر امتیاز دیگر صرف نظر از دینامیک بار است. تحت این شرایط، تابع انتقال سیستم به صورت زیر ساده می گردد:

$$G_p(s) = \frac{V_c(s)}{u(s)} = \frac{1}{LCs^2 + r_L Cs + 1} \quad (9)$$

و بهره حلقه عبارت است از:



شکل ۵: بلوک دیاگرام آرایه کنترلر PI هارمونیک

کار با به کارگیری روش های کنترلی مختلف همانند کنترل خطی، فازی، مد لغزشی، تطبیقی، مقاوم و ... مطابق انتخاب طراح به دست می آید.

بنابراین، عمل کنترل سیستم ابتدا به دست آوردن تجزیه هارمونیک مرجع می باشد و سپس خروجی سیستم مطابق اعمال سیگنال تجزیه شده به بلوک HCA و در نهایت بازسازی آن به دست می آید. روش های محاسبات عددی مختلط فراوانی در این زمینه کنترل وجود دارد؛ بنابراین، یک مدار آنالوگ برای پیاده سازی این روش مناسب نیست. در عوض، الگوریتم کنترل به سادگی و با انعطاف کامل بر روی یک میکروکنترلر یا DSP قابل پیاده سازی می باشد. امروزه، به وسیله پردازنده های دیجیتال با قدرت محاسبه و سرعت بالا، امکان پیاده سازی چنین روش های کنترلی حتی در کاربردهای نسبتاً سریع نیز فراهم شده است. در مقاله حاضر، جهت سادگی بلوک HCA با استفاده از کنترلرهای PI پیاده سازی شده است. دیاگرام کنترلی متناظر در شکل ۵ نشان داده است. همچنین، سیگنال تجزیه شده هارمونیک به صورت زیر از بلوک HCA عبور می کند:

$$\langle u \rangle = K_p \langle e \rangle + K_i \int_{-\infty}^{\infty} \langle e \rangle dt \quad (8)$$

که  $e = V_{c.ref} - V_c$  سیگنال خطا می باشد. باید توجه داشت که حتی اگر سیستم تک ورودی تک خروجی (SISO) باشد، متغیرهای تجزیه شده بردارهایی با ابعاد  $(H+1) \times 1$  خواهند شد. بنابراین،  $K_p$  و  $K_i$  ماتریس های بهره های تناسبی و انتگرالی با ابعاد مناسب و دارای مقادیری مختلط هستند. در مورد سیستم SISO، ماتریس های مربعی با ابعاد  $(H+1) \times (H+1)$  خواهند شد. اگر هر هارمونیک یک فیدبک کنترلی به خودش داشته باشد (که برای سیستم های خطی همچون سیستم این مقاله چنین است)، در نتیجه ماتریس های ضرایب، قطری خواهند بود. از طرف دیگر، برای سیستم های غیرخطی به دلیل اینکه هارمونیک های پایین در سیستم ممکن است بر هارمونیک های بالا اثرگذار باشند، ماتریس های غیرقطری برای جبران سازی یا عملکرد بهتر کنترل مورد نیاز است.

دینامیک‌های مدل نشده، همچون تاخیرهای تجزیه‌کننده، بازساز و مدولاتور PWM، انتخاب حاشیه فاز در محدوده  $70^\circ$  تا  $100^\circ$  توصیه می‌گردد.

$$\frac{v_C(s)}{e(s)} = \frac{K_p + K_I/s}{LCs^2 + r_LCs + 1} \quad (10)$$

اساساً تنظیم کنترلر PI یک مصالحه بین پهنای باند در دسترس کنترل و پایداری حلقه کنترلی می‌باشد [۷]. بخش انتگرالی کنترلر PI یک بهره بالا در فرکانس صفر فراهم کرده و با فرض اینکه پهنای باند کنترل به اندازه کافی بزرگ باشد، می‌توان از تاثیر این بهره در محدوده فرکانس قطع حلقه صرف‌نظر کرد. در نتیجه، در تعیین پهنای باند ( $\omega_b$ ) از تاثیر بهره انتگرالی صرف‌نظر می‌کنیم. بنابراین، ابتدا فرض می‌شود که  $K_I=0$  و تابع انتقال سیستم حلقه بسته عبارت خواهد بود از:

$$\tan(\text{PM} - \pi) = \frac{\omega_b((LK_I - r_LK_p)C\omega_b^2 - K_I)}{K_I^2 + (K_p(K_p + 1 - LC\omega_b^2) - r_LCK_I)\omega_b^2} \quad (14)$$

پارامترهای حاصل  $K_I$  و  $K_p$ ، پارامترهای کنترلر PI برای مولفه فرکانس اصلی می‌باشند. به عبارت دیگر، این پارامترها برای  $h=1$  طراحی شده‌اند. پارامترهای کنترلی برای هارمونیک‌های بالاتر ( $h=3, 5, \dots$ ) با تقسیم  $K_p$  و  $K_I$  بر مقدار  $h$  به دست می‌آیند.

$$\left. \frac{v_C(s)}{v_{ref}(s)} \right|_{K_I=0} = \frac{K_p}{LCs^2 + r_LCs + K_p + 1} \quad (11)$$

با در نظر گرفتن میرایی 3 dB- برای رابطه (۱۱) در فرکانس پهنای باند  $\omega_b$  داریم:

$$\frac{K_p}{\sqrt{(K_p + 1 - LC\omega_b^2)^2 + (r_LC\omega_b)^2}} = \sqrt{\frac{1}{2}} \quad (12)$$

با استفاده از رابطه فوق، بهره تناسبی  $K_p$  به صورت زیر به دست می‌آید:

$$K_p = 1 - LC\omega_b^2 + \sqrt{2(LC\omega_b^2 - 1)^2 + (r_LC\omega_b)^2} \quad (13)$$

پهنای باند کنترل سیستم در این کاربرد یک مصالحه بین پاسخ گذرا و قابلیت حذف نویز کلیدزنی است، که در این مقاله 900 Hz انتخاب می‌شود. با این انتخاب، همزمان عملکرد بالای دینامیکی و مصونیت حلقه کنترل نسبت به نویزهای کلیدزنی تضمین می‌گردد.

پس از محاسبه بهره تناسبی  $K_p$  بر اساس پهنای باند انتخاب شده و پارامترهای فیلتر، نوبت به تعیین مقدار مناسب بهره انتگرالی  $K_I$  مطابق با الزامات پایداری می‌رسد. برای این کار، تاثیر همزمان  $K_p$  و  $K_I$  در نظر گرفته خواهد شد.

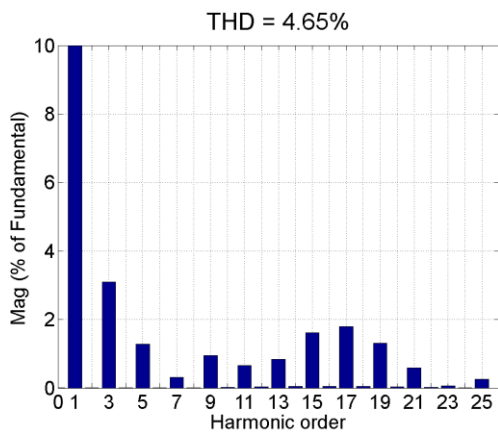
فرض کنیم که فرکانس قطع بهره حلقه رابطه (۱۰) نزدیک پهنای باند حلقه بسته  $\omega_b$  باشد؛ بررسی درجه پایداری بر اساس حاشیه فاز بهره حلقه رابطه (۱۰) امکان‌پذیر است. از این رو، فاز تابع انتقال رابطه (۱۰) در فرکانس  $\omega_b$  معادل  $\text{PM} - \pi$  قرار داده می‌شود. نتیجه حاصل در رابطه (۱۴) نشان داده شده است. جهت تضمین شرایط پایدار سیستم به خصوص در حضور

## ۵. ارزیابی عملکرد سیستم با شبیه سازی

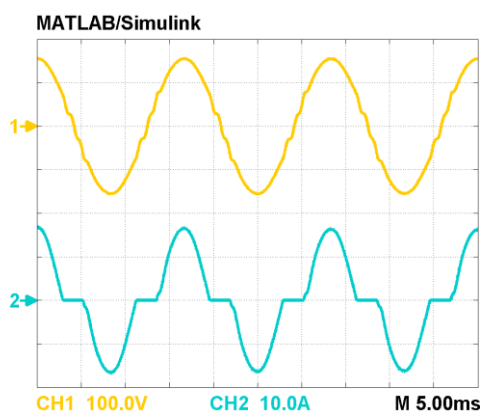
در این بخش، نتایج شبیه سازی سیستم نمونه در محیط نرم افزار MATLAB/Simulink با پارامترهای جدول ۱ ارائه شده‌اند. فرکانس نامی 60 HZ است و فرکانس کلیدزنی طوری انتخاب شده که حاصل  $f_s/f$  یک عدد طبیعی شود ( $N=100$ ).

در اولین آزمایش، عملکرد حالت دائم سیستم تحت بار نامی مقاومتی مطالعه شده و نتایج در شکل ۷ نشان داده شده است. شکل موج ولتاژ خروجی کاملاً سینوسی با  $\text{THD}=0.5\%$  می‌باشد. در این تست، تنها مولفه هارمونیک اصلی برای جبران‌سازی در نظر گرفته شده است (یعنی  $h=1$ ).

در دومین آزمایش، نتایج شبیه‌سازی برای یک بار خازنی در شکل ۸ آمده است. درحالی‌که ضریب توان بار حدود 0.7 است،  $\text{THD}$  ولتاژ خروجی کمتر از 0.6% باقی می‌ماند. در آخرین تست تایید عملکرد حالت دائم، یک بار غیرخطی اعوجاجی مطابق الزامات استاندارد IEC 62040-3 (پیوست E) به خروجی اینورتر تک‌فاز متصل شده است [۲۴]. نتایج حاصل هنگامی‌که تنها جبران‌سازی مولفه اصلی به حلقه کنترلی اعمال می‌شود، در شکل‌های ۹ و ۱۰ نشان داده شده است.  $\text{THD}$  ولتاژ خروجی برابر 4.65% است و هارمونیک‌های سوم و پنجم ولتاژ خروجی دامنه قابل ملاحظه‌ای دارند. در آزمایش بعدی، جبران‌سازی هارمونیک‌های سوم و پنجم به الگوریتم کنترلی اضافه شده و نتایج خروجی به ازای شرایط بارگیری یکسان در شکل ۱۱ و ۱۲ نشان داده شده است. بدیهی است که جبران‌سازهای اضافه‌شده توانسته‌اند به‌طور موثر هارمونیک‌های سوم و پنجم ولتاژ خروجی را جبران کنند. در نتیجه،  $\text{THD}$  ولتاژ خروجی به 3.07% بهبود یافته است که از محدوده 8% استاندارد بسیار کمتر است [۲۴].



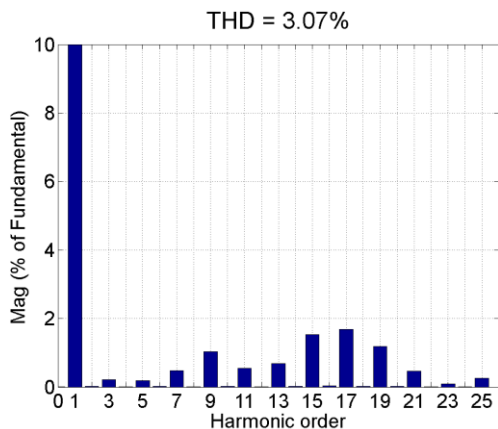
شکل ۱۰: طیف هارمونیک ولتاژ خروجی شکل ۹



شکل ۱۱: شکل موج‌های حالت دائم تحت بار غیرخطی، شامل جبران‌سازی

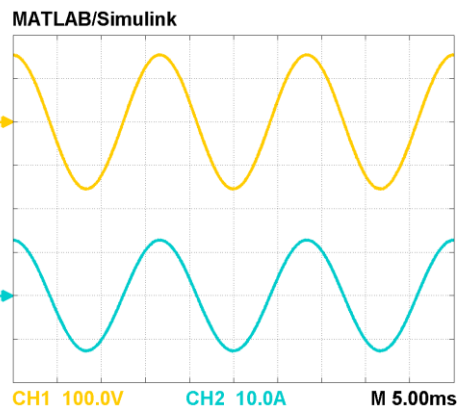
مولفه‌های اصلی، سوم و پنجم هارمونیک: CH1: ولتاژ خروجی (100)

CH2: جریان بار (10 A/div), (V/div)



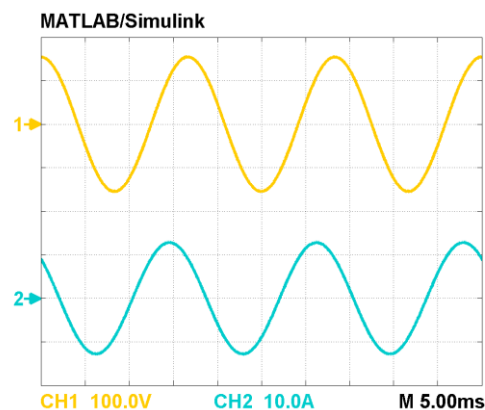
شکل ۱۲: طیف هارمونیک ولتاژ خروجی شکل ۱۱

در شکل ۱۳، عملکرد گذرا در پاسخ به تغییر پله‌ای از بی‌باری به بار نامی مقاومتی نشان داده شده است. ولتاژ خروجی یک فرورفتگی کوچک را در لحظه اتصال بار تجربه می‌کند که در پیک ولتاژ اتفاق می‌افتد و در کمتر از 2 ms خود را بازیابی می‌کند. شکل ۱۴ عملکرد گذرای سیستم را تحت بار نامی مقاومتی در پاسخ به یک پرش پله‌ای دامنه ولتاژ مرجع که با یک



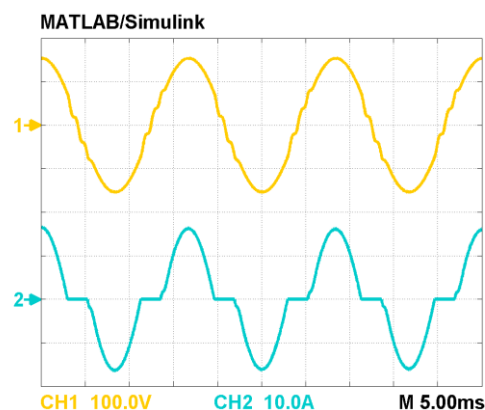
شکل ۷: شکل موج‌های حالت دائم تحت بار نامی مقاومتی: CH1: ولتاژ

خروجی (100 V/div), CH2: جریان بار (10 A/div)



شکل ۸: شکل موج‌های حالت دائم تحت بار RC: CH1: ولتاژ خروجی (100)

CH2: جریان بار (10 A/div), (V/div)



شکل ۹: شکل موج‌های حالت دائم تحت بار غیرخطی، شامل جبران‌سازی مولفه

اصلی: CH1: ولتاژ خروجی (100 V/div), CH2: جریان بار (10 A/div)

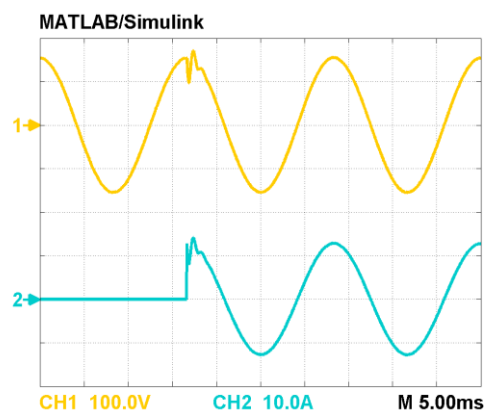
اگرچه، امکان میرایی هارمونیک‌های بیشتر موردنظر مطابق با الزامات کاربرد به‌وسیله اضافه کردن بلوک‌های HCA بیشتر به کنترلر در ازای پرداخت هزینه بار محاسباتی بیشتر وجود خواهد داشت.

در نهایت، عملکرد گذرای سیستم مورد مطالعه قرار گرفته است و نتایج

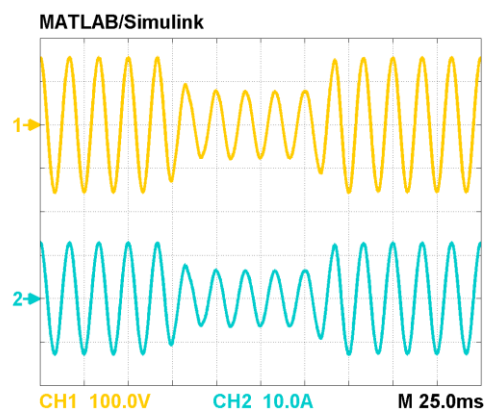
در شکل ۱۳ و ۱۴ آمده‌اند.

## منابع

- [1] H. Gholami-Khesht, M. Monfared, and S. Golestan, "Low computational burden grid voltage estimation for grid connected voltage source converter-based power applications," *IET Power Electron.*, vol. 8, no. 5, pp. 656–664, May 2015.
- [2] A. Hasanzadeh, O. C. Onar, H. Mokhtari, and A. Khaligh, "A proportional-resonant controller-based wireless control strategy with a reduced number of sensors for parallel-operated UPSs," *IEEE Trans. Power Deliv.*, vol. 25, no. 1, pp. 468–478, Jan. 2010.
- [3] L. Herman, I. Papic, and B. Blazic, "A proportional-resonant current controller for selective harmonic compensation in a hybrid active power filter," *IEEE Trans. Power Deliv.*, vol. 29, no. 5, pp. 2055–2065, Oct. 2014.
- [4] C. Xia, Z. Wang, T. Shi, and X. He, "An improved control strategy of triple line-voltage cascaded voltage source converter based on proportional-resonant controller," *IEEE Trans. Ind. Electron.*, vol. 60, no. 7, pp. 2894–2908, Jul. 2013.
- [5] R. Teodorescu, F. Blaabjerg, M. Liserre, and P. C. Loh, "Proportional-resonant controllers and filters for grid-connected voltage-source converters," *IEE Proc. - Electr. Power Appl.*, vol. 153, no. 5, p. 750, 2006.
- [6] A. Vidal, F. D. Freijedo, A. G. Yepes, P. Fernandez-Comesana, J. Malvar, O. Lopez, and J. Doval-Gandoy, "Assessment and optimization of the transient response of proportional-resonant current controllers for distributed power generation systems," *IEEE Trans. Ind. Electron.*, vol. 60, no. 4, pp. 1367–1383, Apr. 2013.
- [7] M. Monfared, S. Golestan, and J. M. Guerrero, "Analysis, design and experimental verification of a synchronous reference frame voltage control for single-phase inverters," *IEEE Trans. Ind. Electron.*, vol. 61, no. 1, pp. 258–269, Jan. 2014.
- [8] P. Mattavelli, "Synchronous-frame harmonic control for high-performance AC power supplies," *IEEE Trans. Ind. Appl.*, vol. 37, no. 3, pp. 864–872, 2001.
- [9] J. M. Espi Huerta, J. Castello-Moreno, J. R. Fischer, and R. Garcia-Gil, "A synchronous reference frame robust predictive current control for three-phase grid-connected inverters," *IEEE Trans. Ind. Electron.*, vol. 57, no. 3, pp. 954–962, Mar. 2010.
- [10] A. I. Maswood and F. Liu, "A unity-power-factor converter using the synchronous-reference-frame-based hysteresis current control," *IEEE Trans. Ind. Appl.*, vol. 43, no. 2, pp. 593–599, 2007.
- [11] R. I. Bojoi, G. Griva, V. Bostan, M. Guerriero, F. Farina, and F. Profumo, "Current control strategy for power conditioners using sinusoidal signal integrators in synchronous reference frame," *IEEE Trans. Power Electron.*, vol. 20, no. 6, pp. 1402–1412, Nov. 2005.
- [12] J. A. Suul, K. Ljokelsoy, T. Midtsund, and T. Undeland, "Synchronous reference frame hysteresis current control for grid converter applications," *IEEE Trans. Ind. Appl.*, vol. 47, no. 5, pp. 2183–2194, Sep. 2011.
- [13] M. Sanatkar-Chayjani and M. Monfared, "Simple digital current control strategy for single-phase grid-connected converters," *IET Power Electron.*, vol. 8, no. 2, pp. 245–254, Feb. 2015.
- [14] C. Zou, B. Liu, S. Duan, and R. Li, "Stationary frame equivalent model of proportional-integral controller in dq synchronous frame," *IEEE Trans. Power Electron.*, vol. 29, no. 9, pp. 4461–4465, Sep. 2014.
- [15] W. Lu, K. Zhou, D. Wang, and M. Cheng, "A generic digital nk  $\pm m$ -order harmonic repetitive control scheme for PWM converters," *IEEE Trans. Ind. Electron.*, vol. 61, no. 3, pp. 1516–1527, Mar. 2014.
- [16] G. Escobar, P. G. Hernandez-Briones, P. R. Martinez, M. Hernandez-Gomez, and R. E. Torres-Olguin, "A repetitive-based controller for the compensation of  $6\pm 1$  harmonic components," *IEEE Trans. Ind. Electron.*, vol. 55, no. 8, pp. 3150–3158, Aug. 2008.
- [17] W. Lu, K. Zhou, D. Wang, and M. Cheng, "A general parallel structure repetitive control scheme for multiphase DC-AC PWM converters," *IEEE Trans. Power Electron.*, vol. 28, no. 8, pp. 3980–3987, Aug. 2013.
- [18] K. Zhou, D. Wang, B. Zhang, and Y. Wang, "Plug-in dual-mode-structure repetitive controller for CVCF PWM inverters," *IEEE Trans. Ind. Electron.*, vol. 56, no. 3, pp. 784–791, Mar. 2009.



شکل ۱۳: شکل موج‌های گذرا در پاسخ به تغییر پله‌ای بار از بی‌باری به بار نامی: CH1: ولتاژ خروجی (100 V/div)، CH2: جریان بار (10 A/div)



شکل ۱۴: شکل موج‌های گذرا در پاسخ به تغییر پله‌ای دامنه ولتاژ مرجع: CH1: ولتاژ خروجی (100 V/div)، CH2: جریان بار (10 A/div)

سقوط پله‌ای آن دنبال می‌شود، نشان می‌دهد. یک نوسان کوچک با یک فراجهش/فروجهش کوچک در پوش شکل موج ولتاژ مشاهده می‌شود که در کمتر از یک سیکل از بین می‌رود.

## ۶. نتیجه گیری

این مقاله استفاده از روش HCA را برای کنترل اینورترهای تک فاز جدا از شبکه پیشنهاد می‌دهد. روش کنترل پیشنهاد شده خطای حالت دائم صفر را در فرکانس اصلی و سایر هارمونیک‌های موردنظر تضمین می‌نماید. این روش از مزایای سادگی مفهوم و سادگی پیاده‌سازی بر روی پردازنده دیجیتال بهره می‌جوید. شیوه منظم طراحی پارامترهای کنترل سیستم در این مقاله مطالعه شده است. همچنین، عملکرد طرح پیشنهاد شده با آزمایش‌های مختلف بخش شبیه سازی تایید شده است. نتایج حاصل موثر بودن و عملکرد عالی حالت دائم و گذرای این روش را برای کنترل اینورتر تک فاز جدا از شبکه به معرض نمایش می‌گذارد.

- [19] Y. Ye, K. Zhou, B. Zhang, D. Wang, and J. Wang, "High-performance repetitive control of PWM DC-AC converters with real-time phase-lead FIR filter," *IEEE Trans. Circuits Syst. II Express Briefs*, vol. 53, no. 8, pp. 768-772, Aug. 2006.
- [20] M. Dogruel, and H. H. Celik, "Harmonic control arrays with a real time application to periodic position control," *IEEE Trans. Control Syst. Technol.*, vol. 19, no. 3, pp. 521-530, May 2011.
- [21] M. Monfared, "A simplified control strategy for single-phase UPS inverters," *Bull. Polish Acad. Sci. Tech. Sci.*, vol. 62, no. 2, pp. 367-373, Jan. 2014.
- [22] S. R. Sanders, J. M. Noworolski, X. Z. Liu, and G. C. Verghese, "Generalized averaging method for power conversion circuits," in *21st Annual IEEE Conference on Power Electronics Specialists*, 1991, pp. 333-340.
- [23] G. Goertzel, "An algorithm for the evaluation of finite trigonometric series," *Am. Math. Mon.*, vol. 65, no. 1, p. 34, Jan. 1958.
- [24] Uninterruptible power systems (UPS) – Part 3: Method of specifying the performance and test requirements, Second edition 2011-3, International Standard IEC 62040-3.